

## 埋立て、浚渫にともなう富栄養化水質汚濁予測とその改善について

山口大学工学部 中西 弘 淳田正夫

1. まえがき 海岸埋立ての造成ならびに浚渫事業は、土木工事のなかで重要な位置を占めている。埋立てや浚渫事業の環境アセスメントでは、埋立てや浚渫計画に基づく環境影響行為に対する環境要素としての自然環境、景観、水象、海象(潮流、波浪等)、気象、地象、地形、大気質、水質、底質、動物、植物、水産生物、漁業、騒音、振動、悪臭、廃棄物、海上交通、背後地、その他社会的環境など、さまざまの要素に対する影響を予測、評価し、その影響を最低限に抑えるべき対策を計画のなかにフィードバックさせる必要がある。こうした種々の環境要素のなかでも、水質環境の保全は最も重要な項目の1つであるが、埋立てや浚渫に關係する水質汚濁では、濁りの発生や富栄養化が問題となる。この報告では、富栄養化に関する水質汚濁問題をとりあげ、水質保全行政上の重要な水質指標にあげられているCODを中心に、その意義、予測手法(非保存系としての取りあつかい、内部生産の評価)、環境アセスメント事例などを紹介し、現実に行われている沿岸域の地形変化に対する水質環境変化予測の実状を明らかにし、その問題点をまとめた。

### 2. 水質環境基準としてのCODの評価と問題点

有機物汚濁に係る水質環境基準項目として、湖沼や海域ではCOD、河川ではBODが採用されている。BODはもともと、有機汚濁物質が水域に放流された場合に、そこに存在する好気性微生物によって利用され、溶存酸素を消費することにより水中生物に被害を与えるという意味から、現実に近い酸素消費量を表示している。河川では、有機物はすべて系外から供給されたものと解釈されBODで表示されているのに対して、湖沼や海域では、プランクトンの生産に由来する有機物が加わり、BODの測定に複雑な反応を示すのでCODで表示することに決められた。生活環境の保全に関する水質環境基準は利水基準の強い性格のものであり、海域や湖沼の水産環境水質基準がBODではなくCODで表示されているといふことによって水産側の強い要望も加わり、CODに設定されたという経緯がある。水質環境基準としてのCODについて、次のような評価や問題点が考えられる。

1) 有機汚濁が溶存酸素の消費とともにともなう水質障害という前提にたづなれば、指標としてCODよりもBODの方が意義がある。BODはBODを意味しているが、BODの測定は暗条件で行われており、光合成作用は阻止されているので、BODは有機物が現実の水域で微生物によって酸化分解される場合に近い酸素消費量をあらわしている。酸素收支の面からみれば、水域で生産される有機物(プランクトン類)による收支は、時間のずれはあるが差しづら増減がない。

2) COD設定の経緯からも明らかなように、湖沼や海域の水質環境基準のなかにすでに、水域で生産されるプランクトン由来のCODの概念が入れられている。ただし、陸域由来のCODと水域由来のCODとの分離定量が困難であり、COD濃度の総量が問題にされているだけ、その中味についてはあまり言及されていない。

3) 環境基準や排水基準に採用されているKMnO<sub>4</sub>酸化法CODでは、有機物に対する酸化率は低く、有機物の種類によって酸化率に大きな差がある。また、海水では塩素イオンの酸化を抑えるために多量の銀塩を加える必要がある。測定法が簡便なことと有機物濃度の相対的な比較的の尺度としてKMnO<sub>4</sub>法CODが採用されているが、有機物濃度全体を考えると、たとえKMnO<sub>4</sub>法CODで測定するとしても常にその背景にあるTOCやTODの値に換算することを念頭においておかねばならない。すなわち、水質基準項目としてそれぞれ真に意義のあるものはMnCODではなく、BOD(BOD<sub>5</sub>やultimate BOD 20日間のBODで代用)、全有機炭素TOC、全酸素要求量TODである。

4) 水質環境基準値は、許容限度や受認限度ではなく、あくまでも維持されることを望ましい行政上の目標値である。また、CODの測定精度からといって小数点2桁以下の数値にはあまり意味がない。環境基準達成状況の

評価や水質汚濁予測計算結果の評価においても、この点をよく認識しておくことが必要である。小数点以下の細かい数値にこだわり過ぎることはよくない。

### 3. CODを中心とした富栄養化水質予測モデル

行政目標からいえば、湖沼や海域の水質環境基準は CODで決められており、環境影響行為に対する水質影響予測もまた CODで行われている。又述べたように CODについては種々の評価や問題点が考えられるが、このことを念頭において、CODに関する種々の濃度予測モデルをまとめることとする。

#### 3.1 保存系としてのCOD濃度予測モデル

海域における水質の現況の解析や将来予測に関して、海水の流動や物質移動を把握するには、水理模型実験と数値解析による方法がある。前者は複雑な地形を持つ流動場の解析に有効であるが、計算機の利用が進むにつれて、数値解析による方法がよく用いられてしまっている。数値計算による水質シミュレーションでは、式(1)の基礎式が示されている。この非定常拡散方程式の入力として流動モデルより求めた潮流速が与えられ、拡散係数は塩分濃度より求められている。

$$(h+ \zeta) \frac{\partial C}{\partial t} = - (h+ \zeta) u \frac{\partial C}{\partial x} - (h+ \zeta) v \frac{\partial C}{\partial y} + \frac{\partial}{\partial x} \left\{ K_x (h+ \zeta) \frac{\partial C}{\partial x} \right\} + \frac{\partial}{\partial y} \left\{ K_y (h+ \zeta) \frac{\partial C}{\partial y} \right\} + g, \quad \dots \dots \dots (1)$$

C: COD濃度,  $K_x, K_y$ :  $x, y$  方向の拡散係数,  $g$ : COD流入負荷量,  $u, v$ :  $x, y$  方向の平均流速

$h$ : 平均水面から海底までの水深  $\zeta$ : 平均水面から海面までの高さ

この場合、CODは保存物質として取りあつかわれているが、3次元的な物理拡散過程を取りあつかうもの(2層位モデルなど)もある。なお、陸域から流入したCODは、微生物分解や沈降などの作用により水域中で減少するので、CODを保存物質として取りあつかうことは實際よりも高い濃度を示すのが安全側にあるといえる。また、富栄養化された水域では CODの水成生産(内部生産)があるのだ、当然のことながら計算結果が陸域由来の CODをあらわし、水域全体の COD濃度をあらわしていないことを十分に認識しておかねばならぬ。

#### 3.2 富栄養化簡易 COD濃度予測モデル

水域に存在する COD成分は ①陸域、底泥、他水域から供給されたものと ②水域自体で生産されたものに大別されるが、水域生産 CODは ③=全 COD-① によって求まる。富栄養化された水域では COD濃度に周期性があり、一般的には夏場に高く、冬場に低い値を示している。この水域での CODの季節的な変動は主としてプロントンの生産に由来する CODの水成生産(内部生産)によるものと考えられるので、① ③の評価として次に示すものがある。

$$\Delta P_{COD} = COD - COD_{min} \quad \dots \dots \dots (2), \quad \Delta COD = \overline{COD} - COD_{min} \quad \dots \dots \dots (3)$$

P COD: 水域で生産された COD, COD; 任意の時期の水域の COD, COD<sub>min</sub>; 年間の CODの最小値

$\Delta COD$ : 水域で生産された CODの年平均値,  $\overline{COD}$ : 水域での COD年平均値

式(2)、式(3)は、年間の CODの最小値が主として陸域から供給されたものとしているが、これはその時期には CODの水成生産がほとんど認められないことや、陸域からの COD負荷が時間を通じては一定であるとする前提としている。なお、底泥からの CODの溶出についてはほとんど可観にならないが、底泥のよどみのあるところではその COD値は無視できない。又、式(3)は水質基準値の監視基準、行政目的のため測定されたり膨大な COD測定値と初期に活用できる点においても、この方法は意義があると考えられる。

#### 3.3 陸域由来 CODおよび水域由来 CODの評価

陸域等由来の CODとして COD<sub>min</sub>をあげたが、その他に種々の評価法が考えられる。それらをまとめると次のようになる。

陸域由来の COD値; 1. COD<sub>min</sub> 2. 溶解性 COD 3. COD最小値を示す時期の溶解性 COD  
= 保存系消費および 4. 非保存系物質としての陸域 CODの拡散モデル計算結果

水域由来の COD値; 5. 浮遊性 COD 6. フロロフィルム測定結果の COD換算値 7. 有機性窒素の

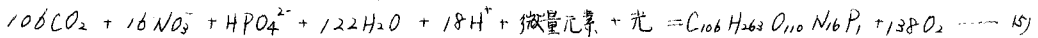
## COD換算値 ④. 有機性リンのCOD換算値 及 クロロフィルaおよびフェオフィテンのCOD換算値

このうち、口やへは、浮遊性CODはプランクトン由来、溶解性CODは陸域由来という割切った解釈を示すものである。厳密にいうとプランクトンの代謝や分解による溶解性CODの生成もあり、浮遊性CODのなかにも陸域由来のCODもあるので、これは近似的な表示である。またハは、冬季のCOD最小の時期でも多少ともCODの水域生産が認められるにから、COD<sub>min</sub>時期の溶解性CODを陸域由来のCODと対応させたものである。ニ、ホは、拡散モデル計算により陸域、移流等によるCODを求めるものであり、ホではCODの分解や沈降などによる減少を考慮している。すなわち、ニ、ホは正確的な陸域等由来のCODの評価であるが、簡単な方法でなうことや計算結果の検証が困難なことなどが悩みである。トは、クロロフィルaの測定値をCODに換算したものであるが、換算法として現場で採集したプランクトンについマのクロロフィルaとCODの分析値から求めるとものとがある。前者では、プランクトンネットで採集したものがすべてのプランクトンであるかどうか、また集められた浮遊物のすべてプランクトンで占めているかどうか、プランクトン由来の溶解性物質などについて疑問が残る。後者では、培養藻類についてのクロロフィルaとCODの関係は明らかとなるが、現場の実状を再現できているかという点が未解決である。チ、リ、もトと同じ問題をかかげているが、プランクトン由来のCODの評価として、培養藻類の水質分析値から求めたクロロフィルaとフェオフィテンのCOD換算値を利用することが現状では最も正確な方法であろう。

なお、水質環境基準達成の行政目標から△CODを式(1)に示すような  $\overline{COD} - COD_{min}$  ではなく、  $COD \times 25\%$  値を代表値として、 $\Delta COD = 25\% COD - COD_{min}$  としている例がある。——(4)

### c) 室素、リンの水域生産COD

以上、b)で述べた種々の評価法によって求めた実測に基づく水域生産CODは、次のような反応によって得られたものであり、室素、リン濃度と関係づけられる。



式(5)の  $C_{106}H_{262}O_{110}N_{16}P$  は代表的な植物プランクトンの組成であり、窒素1分子およびリン1分子より生成されるプランクトン体のTOD量は、それぞれ19.7gと14.3gとなる。また、プランクトンの純粋培養のデータよりTODと酸性法COD<sub>Mn</sub>との関係は(2~3)  $COD = TOD \times k$  である。したがって式(5)によると、窒素、およびリン1ppmからプランクトンの生産を通して得られるCODは、それぞれ6.6~9.9ppmと4.4~7.3ppmであり、この値は水域に存在する窒素、リンからCODが生産される上限値である。実際のプランクトンの増殖には、水温、光、塩分、微量元素などが関係しているので、窒素、リンを基礎としたプランクトン由来COD生産量は、この理論的上限値以下となっている。ここで、水域の窒素、リンが実際にCODに変換する割合を変換率として次のようく定義する。

$$\Delta COD_{NP} = \alpha_N COD_N = \alpha_P COD_P \quad \dots \dots (6)$$

$\alpha_N, \alpha_P$ ；それぞれ窒素、リンを基礎とした変換率、  $COD_N, COD_P$ ；それぞれ窒素、リン濃度より求めたCOD理論的上限値。

変換率とは、窒素、リン濃度を基礎としたものがあるが、式(5)より求めた  $N/P$  比  $\approx 24$  (質量比) と比較して、水域の  $N/P$  比が  $\approx 24$  より大きい場合にはリンが制限因子となり、値が  $\approx 24$  より小さい場合には窒素が制限因子となつてると考えられるので、  $N/P$  比によって変換率を窒素、リンのいずれを取りあげらかに判断することができます。また、窒素、リンの形態には無機態、有機態があるが、有機態の窒素、リンも直接、あるいは間接的にCODの生産に関係しているので、全窒素、全リン濃度を対象にして変換率を求めている。なお、変換率とは、プランクトン生産の旺盛な時期に、とくにリンにおいて100%を越えることがある。これはプランクトン組成のCOD/N比が式(5)より大きい場合もあること、また、リンがリサイクルしてCOD再生産に利用されているためであると思われる。また、変換率は、実測を基礎とした窒素、リン濃度と水域生産CODとの関係を示すものであり、その

水城の富栄養化特性を示す指標としても意義がある。なお、变换率は式(7)に示す变换係数として直接に窒素、リン濃度とCODとの関係を求める方が実用的には便利である。

$$\Delta COD \text{ or } PCOD = \alpha'_N N + \alpha'_P P \quad \dots \dots (7)$$

ここで、 $\alpha'_N, \alpha'_P$ ；それぞれ窒素、リンの变换係数  $N, P$ ；それそれ水城の全窒素、全リン濃度 (ppm)

#### ② COD濃度予測計算

陸域由来COD濃度と水域由来COD濃度の予測計算を分けて行い、合計して水城COD濃度とする。

#### ③ 陸域由来COD予測

式(1)に示すような拡散モデル式を用い、保存系としてのCODの濃度予測を行うか、式(1)の右辺にCODの分解速度項や沈殿項を加えた非保存系としてのCOD予測計算を行なう。また、Joseph-Sendner系の式、Fick系の式、新田式のような簡単な拡散計算式、あるいは閉鎖水城における潮汐流に移動交換、完全混合を考えたもの、完全混合ボックスモデルなどによる計算もある。いずれも計算結果が水城の全CODに対応しないことに注意しなおかねばならない。

#### ④ 水城由来のCOD予測

その水城のN/P比からみて、窒素、リンのいずれが制限因子であるかを知る。次に制限因子となつているリン、または窒素についての濃度予測を行なう。栄養塩類の濃度予測においては拡散モデル式に、全リンでは沈殿項および底泥からの溶出項を、全窒素では沈殿、溶出および脱窒塩素項を加える。また、完全混合ボックスモデルにおいても同様である。ミューレー等の解説の結果、求めたリン、または窒素濃度に、先さに求めたその水城の变换係数 $\alpha'_N$ または $\alpha'_P$ を掛けPCODまたは $\Delta COD$ を求める。

この種の富栄養化簡易CODモデルでの水質予測値は、年平均値か、季節代表値程度の長期予測値であり、また現の生産予測のとて短期間の水質変化を予測することは困難である。

#### ⑤ 富栄養化COD予測モデル

上述べた簡単COD予測モデルでは、水城生産CODと栄養塩濃度との関係をその水城の実測水質資料から求めた变换係数によつて用ひたにし、その变换係数によつて逆に予測した栄養塩濃度と水城生産COD濃度に变换する手法を用い、变换係数は特徴においても変わらないとしている。これに対して上のモデルでは、水城生産のCODと生産項と分解項に分け、生産項を無機態栄養塩濃度の関数として、その関数型を実測水質濃度からではなく、現場または室内実験によつて求めている。すなわち、両者の違いは表1のようまとめられる。

表1 富栄養化CODモデルと簡単モデルの比較

基礎式	$(COD_{\text{水城生産項}} - (COD_{\text{水城生産COD分解項}}) - (COD_{\text{陸域COD分解項}}))$
簡単モデル	$(COD_{\text{水城生産項}} - (COD_{\text{水城生産COD分解項}}))$ の積分値 (ppm) $= \alpha'_N \times \text{水城全窒素濃度} \text{ or } \alpha'_P \times \text{水城全リン濃度}$ (ppm)
富栄養化モデル	$(COD_{\text{水城生産項}} - (COD_{\text{水城生産COD+陸域COD分解項}}))$ $= f(\text{無機態リン or 窒素}) - g(COD)$
中間モデル	$= f(\text{全リン or 全窒素}) - g(COD)$

P; COD生産速度 (kg/m<sup>2</sup>/日) T; 水温 I; 照度 Km; 定数 N<sub>i</sub>; 無機態窒素 or リン No; 有機態窒素 or リン (g/m<sup>2</sup>/日) f, g: 量と意味している) なお、生産速度の関数型の決定は、A & P試験や明暗分光法によって求められる。また、CODの分解速度は、一般にCODの一次反応式として表現されているが、厳密には水城生産CODと陸域由来CODで分け(取扱)のが本筋であろう。

## 4. 埋立で、浚渫にともなう富栄養化水質予測の事例

### ① 保存系としての COD 指数計算

今なお、COD濃度予測に広く用いられている方法である。これまでの環境アセスメントにおいて、正式に採用されてきた予測手法である。基礎式は式(1)であるが、まず現況の水質を再現する指數係数を採用している。すなわち、元来、非保存系であるCODについて、減衰項を指數係数の中に含めて保存系としての整合性をもたしている。なお、この方法では、CODの流入源から遠ざかるほど濃度が減少するが、富栄養化水域でしばしば認められるような沖合でかえって濃度が高くなるような現象を再現することはできない。最近の事例として、秋田湾(昭53.10)<sup>10</sup>、大分地域(別府湾 昭55.5)<sup>11</sup>、長崎南總領早湾、昭55.5<sup>12</sup>、関西空港(昭56)<sup>13</sup>などの埋立開発計画におけるCOD予測が保存系として計算されている。これは埋立計画にともなう特定の汚濁発生源の直接の影響だけを知る目的ではそれなりの意義があるが、計算結果をCOD濃度全体に整合性を求めるには無理がある。

式(1)は、COD減衰項(拡散、分解)を加え、非保存系として取扱えば、陸域よりの特定の発生源の影響をより正確に把握できる。すなわち、CODの水域生産項を加えることにより、水域全体のCOD濃度を求めることができる。広島湾の水質予測(建設省 昭50.5)<sup>14</sup>では、減衰項をCODの一次、二次、三次反応式として、また生産項を定数、水深の関数、時間の関数において、COD濃度を求めている。三河湾でも同様な計算結果がある。<sup>15</sup>

### ② 富栄養化簡易モデルによる COD 予測計算

環境アセスメントの内部資料として、また、一部は公表された資料として、富栄養化簡易モデルが利用されつつある。式(3)に示した水域生産CODの年平均値△CODの評価において、COD<sub>min</sub>を陸域由来のCODと考えることには、筆者らが指摘しておいたように若干の問題がある。<sup>16</sup> すなわち、年間のCOD最小の時期においてもCODの水域生産が認められ、また、陸域COD流入負荷の影響も降雨にともなう温水流入量の大きな変動に左右されるので、陸域由来CODの年平均値がCOD<sub>min</sub>に一致するという確証はない。しかし、CODの大きな季節変動が水域生産CODに由来することは大筋において認められることがある。

式(2)、式(3)によると東京湾の水域生産COD量やCOD生産堆存量の評価が、東京湾環境改善調査報告(昭51.3)<sup>17</sup>においてなされている。また、鬼島湖への下水処理水放流の影響調査(昭53.3)<sup>18</sup>において、式(3) 式(6)によって、鬼島湖の△COD、 $\alpha_N$ 、 $\alpha_P$ を求めているが、その数値の妥当性をクロロフタル酸の測定結果から推定した全窒素、全リン濃度と△COD、 $\alpha_N$ 、 $\alpha_P$ から逆算した全窒素、全リン濃度と比較することによって検証している。ここではリンと指標にして、下水道整備前後のPO<sub>4</sub>-P濃度予測値から△CODを求めている。また、陸域由来のCOD濃度は、実測CODより△CODを減ずることより求め、流入COD負荷量の湖内単純混合濃度と得られた陸域由来COD濃度との比を流入COD負荷の水成率とし、その水成率をもとにして将来の陸域由来COD濃度を求めている。また、諫早湾の淡水湖計画における水質予測においては、求めた湖内の全窒素、全リン濃度に別に求めた変換率 $\alpha_N$ 、 $\alpha_P$ を乗じて水域生産CODを算出している。大分地域(別府湾)では、昭和52年度の△CODおよびCOD<sub>base</sub>-△CODの水域および陸域由来のCOD分布と、それらの経年変化を求めている。徳山湾のCOD濃度シミュレーションでは、次式に示すように陸域由来のCOD<sub>base</sub>を非保存系の拡散モデル式によって求め、水域由来のCODは、リンに関する拡散モデル式によって求めたリン濃度に変換率を乗じて求めている。

$$COD = COD_{base} + \Delta COD = COD_{base} + \alpha'_p P \quad (I)$$

$COD_{base} = C_b$ ; 陸域由来COD,  $\alpha'_p$ ; 流速

$$\frac{\partial C_b}{\partial t} = -U \frac{\partial C_b}{\partial x} - V \frac{\partial C_b}{\partial y} + D_x \frac{\partial^2 C_b}{\partial x^2} + D_y \frac{\partial^2 C_b}{\partial y^2} + g_p - K_d C_b - (II)$$

$D_x$ ,  $D_y$ ; 拡散係数  $g_p$ ; COD リンの流入負荷量

$$\frac{\partial P}{\partial t} = -U \frac{\partial P}{\partial x} - V \frac{\partial P}{\partial y} + D_x \frac{\partial^2 P}{\partial x^2} + D_y \frac{\partial^2 P}{\partial y^2} + g_p - \lambda_p P + R_p \quad (III)$$

$K_d$ ; COD 分解係数  $\lambda_p$ ; リンの光降解係数

$R_p$ ; 底泥からのリンの溶出速度

関西空港のアセスメントにおいても、CODの水域生産が検討されている。<sup>19</sup> すなわち、保存系モデルによる計算結果と実測値との差は、広い意味の水域生産によるものとして、COD予測モデルと式(3)に設定している。

$$L(C) = Q^L + Q^P - \alpha^P \quad (IV) \quad L(C); 移流, 拡散項 \quad Q^L; 陸域負荷量 \quad Q^P; 水域内の生産量 \quad \alpha^P; 水域内の分解$$

沈降量( $\Delta C$ )  $C$ ; COD濃度 入; 自浄係数、水域生産量  $Q_c^p = Q^p - Q^{sp} = V \Delta C$   $V$ ; 水域容積  $\Delta C$ ; 水域生産濃度  $\therefore$  でも  $\Delta C$  及式(13)あるいは自浄作用を考慮した非保存系計算より求めているが、 $\Delta C$  と窒素、リン濃度の関係を式(13)で表わしている。 $\Delta C = \alpha'_p (\bar{P} - P_{min})$  or  $\alpha'_N (\bar{N} - N_{min})$  ----- (13)

$\bar{P}$ ,  $\bar{N}$ ; 全リン・全窒素の年平均値  $P_{min}, N_{min}$ ; 全リン・全窒素の年最小値  $\alpha_p^*, \alpha_N^*$ ; 変換係数  $\Delta C$ ; 水域生産 COD  
しかし、式(13)の意義が遠かではなし。さらに、実測結果と移流拡散計算結果からの水域生産量の推定を二つの方法で行っていく。これらの結果をみると、水域生産量の評価は、式(12), 式(13), 自浄作用を考慮した非保存系計算、実測と移流拡散計算結果の順で大きくなっている。特に後者で非常に大きな値となっている。

博多湾の埋立地アセスメントでは<sup>3)</sup> COD予測に簡易モデルが正式に採用されているが、水域生産由来CODは式(14)で示されている。 $\Delta COD = 25\% \times COD - F COD \dots (14)$  ここで  $F COD$  は冬季の溶解性CODであり、リンを富栄養化の制限因子として、式(14)より変換係数  $\alpha'_p$  を求めている。COD濃度予測にあたって、陸域由来の一次汚濁は式(14)により、水域生産由来の二次汚濁は式(17)により全リン濃度を予測し、得られたリン濃度に変換係数  $\alpha'_p$  を乗じて求めている。

### 3) 富栄養化 COD予測モデル

拡散モデル、およびボックスモデルによる解析が行われている。拡散モデルでは式(6)に示すように、有光層無光層に分り、移流項、拡散項、上下交換項、生産項、分解項、沈降項、底泥溶出項、流入負荷項より構成される。

$$\text{無光層 COD} = \frac{K_1(s-s')}{\frac{K_1(s-s')}{K_2(s-s')} + \frac{K_2(s-s')}{K_1(s-s')}} \quad (16)$$

S, S'; 有光層、無光層 COD S, S'; 有光層、無光層の陸域由来の COD K<sub>2</sub>; 上下層間の交換係数 K<sub>1</sub>, K<sub>1'</sub>; 有光層、無光層の分解速度 K<sub>0</sub>, K<sub>0'</sub>; 有光層、無光層の沈降速度 a; 营養塩濃度と COD 濃度の逆数アシント; 体組成比 N; 有光層の無機態栄養塩濃度 a; 光合速度 L<sub>s</sub>; 陸からの COD 負荷量 S<sub>B</sub>; 底泥からの COD 延出量 h, h'; 有光層、無光層の水流 W<sub>T</sub>, W<sub>T'</sub>; 有光層、無光層の水分子拡散流速 K, K'; 有光層、無光層の水平拡散係数  
 ここでは COD の生成速度は無機態栄養素やリン濃度に比例するとしているが、生産速度については東養殖農度の関数として種々の関数型が提案されている。なお、生産速度を求めるのに必要な無機態栄養塩濃度を求めるために、有光層、無光層における無機態栄養塩および有機態栄養塩に関する拡散方程式を解かねばならない。東京湾底質浄化調査(邊野原)<sup>14)</sup>、秋田湾水質変化予測(秋田県)<sup>15)</sup>、周防灘海城底質浄化調査(邊野原)<sup>16)</sup>をはじめ、多くの富栄養化水城の埋立で、浚渫あるいは底質改善効果の判定に式(15) 式(16)のモデルが使用されている。また、新門司の埋立工事においては、生産量と全リンの関係とおいて COD を予測している。

ボックスモデルでは、基礎式は式(17)があらわされるが、ボックスを上層、下層などいくつかに分け、移流項、拡散項、非保存項より構成された物質収支式より濃度を求める。非保存項では、生産項、沈殿項、分解項、底泥溶出項などより構成される。東京湾底質浄化調査・周防灘調査・瀬戸内海底質浄化(環境省)をはじめ多くの水域でのCOD予測に利用されている。 $T_d \frac{dc_i}{dt} = \sum Q K_{ij} C_i K + \sum E K_j (C_K - C_{ij}) + \sum S_i d_j$  .....(17)  $C_{ij}$ :ボックスjのCOD濃度

$V_j$ ; ボックスjの容量     $Q_{kj}$ ; 移流量(ボックスkからjへ)     $EK_j$ ; 残数(ボックスkからjへ)     $Sign_j$ ; ボックスjにおける物質jに関する因子

5 むすび 墓立てや渓流計画にともなう富栄養化水成の環境アセスメントに係る COD濃度予測の手法や幾つかの事例を示した。現実のアセスメントにおいても、COD予測に水域生産 CODの評価が入れられており、簡易でより精度のよいモデルの開発に努力されている。この報告が多々とお役に立てば幸せである。

参考文献(4) 1)甲西、猪母、野村、用木工/底水ノウス(1978) 2)福岡市 廃物埋立地及び外貯場56.3 3)福岡県の海岸開発計画(中間段階)昭56.10 4)大分県 大分地域工業港湾計画調査昭55.5 5)大分県環境省長崎海浜総合計画昭55.8 6)運輸省周辺同様空港アリス小艇55.10 7)建設省 広島湾港内開拓地整備調査昭55.9 8)金森山梅村(4)田環境問題調査昭54.4(1978) 9)環境省 水質変化予測基準調査昭55.9 10)運輸省 東京湾環境改善調査昭55.9 11)川崎市 濁河原下水処理装置調査昭55.2 12)柳井、津田 土木学会論文部会第2回講演会昭55.2 13)運輸省 日本港湾協会 COD内部生産量計算昭56.3 14)運輸省 東京湾底質浄化調査昭52.53.64 15)秋田県秋田湾水質変化予測 昭55.4.10 16)運輸省 沿岸港湾底質浄化調査昭54.7 17)中西、浮田、加藤、河合、松本、日本工業工程研究会講演会昭56.1 18)運輸省 深水港開拓地底質浄化調査 昭56.6